

Räumliche Transformationen zur Veränderung von ambisonischen Aufnahmen

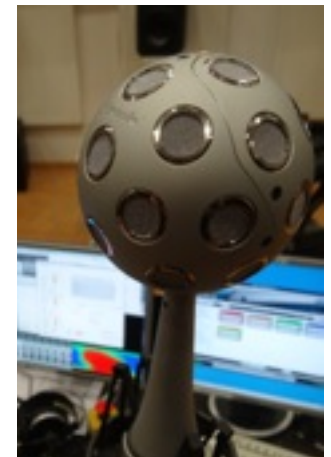
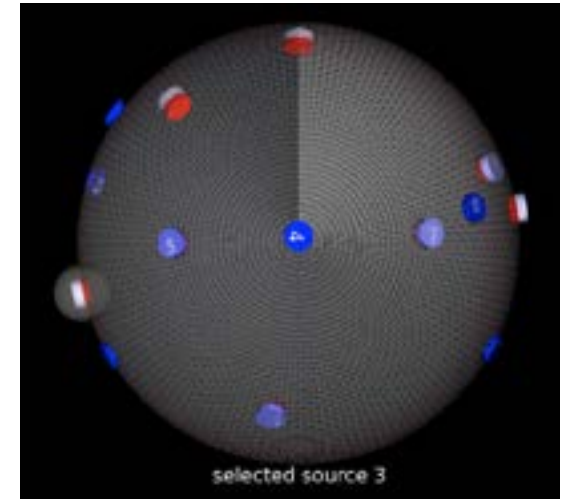
Matthias Kronlachner

Motivation

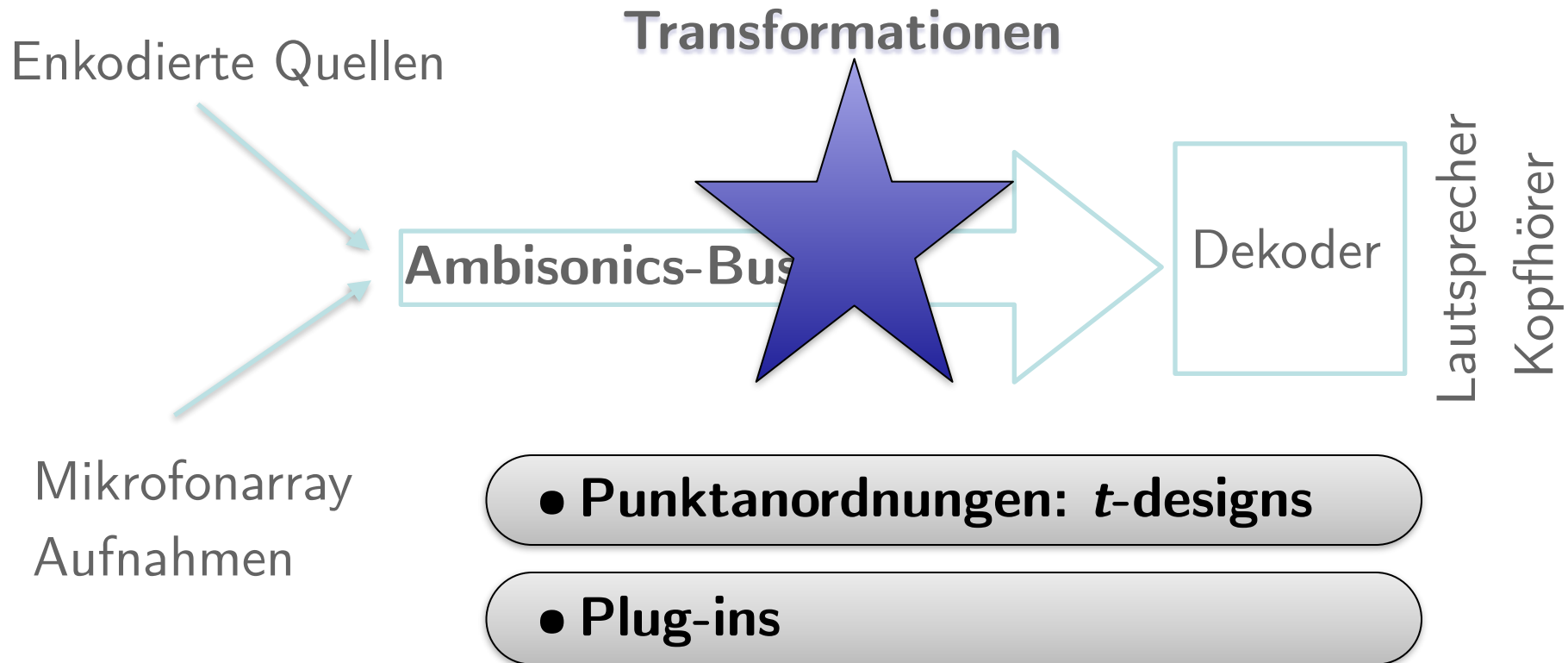


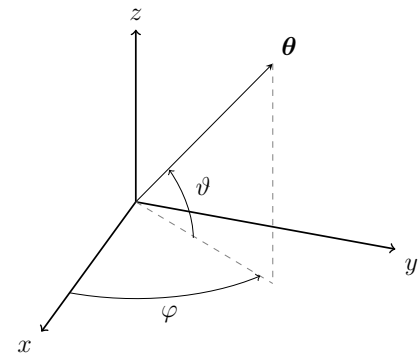
Warum in der Ambisonics-Domäne?

- Objektbasierte Formate
einfach: Metadaten verändern
- Aber: nicht immer alle Objekte einzeln verfügbar
/ Trennung mit Artefakten?



- **Allgemeine Transformation**
 - ✦ Rotation
 - ✦ Warping
 - ✦ Richtungsabhängige Lautstärke

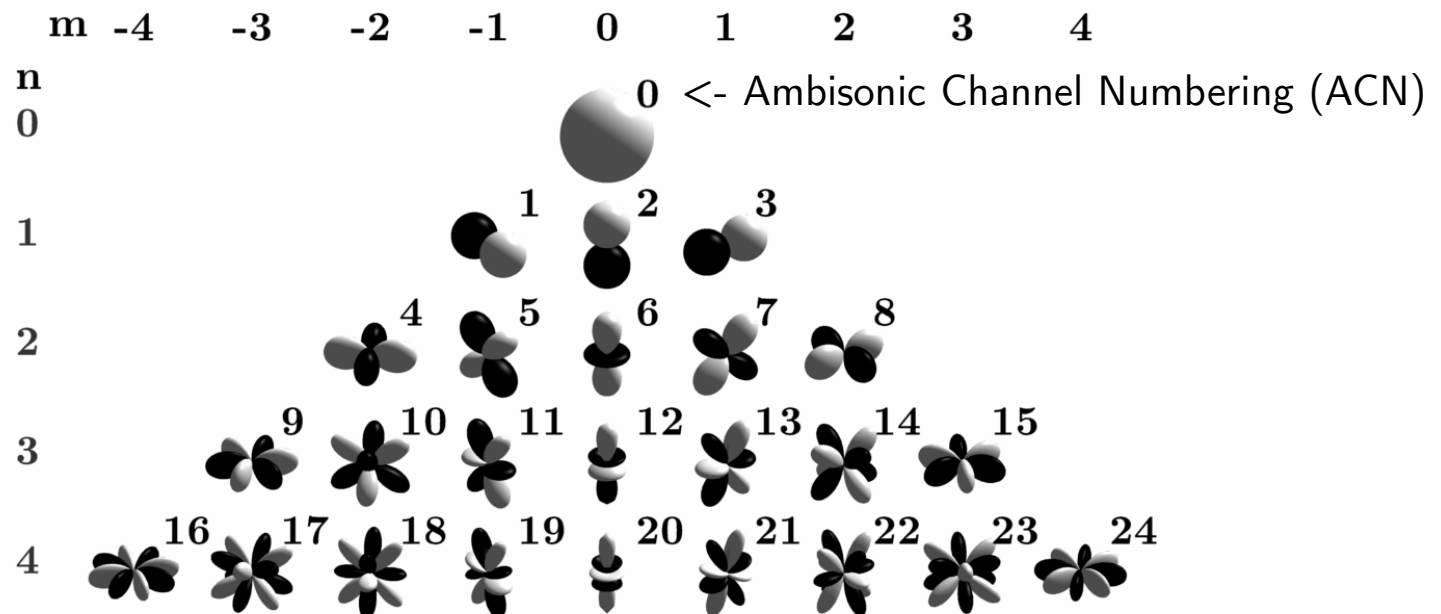


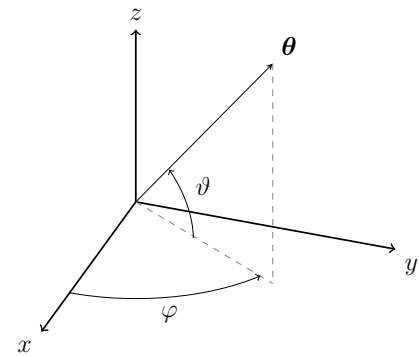


Kugelflächenfunktionen Y_n^m

$$f(\varphi, \vartheta, t) = \sum_{n=0}^N \sum_{m=-n}^n Y_n^m(\varphi, \vartheta) \phi_{nm}(t)$$

$$Y_n^m(\varphi, \vartheta) = N_n^{|m|} P_n^{|m|}(\sin(\vartheta)) \begin{cases} \sin |m|\varphi, & \text{for } m < 0 \\ \cos |m|\varphi, & \text{for } m \geq 0. \end{cases}$$

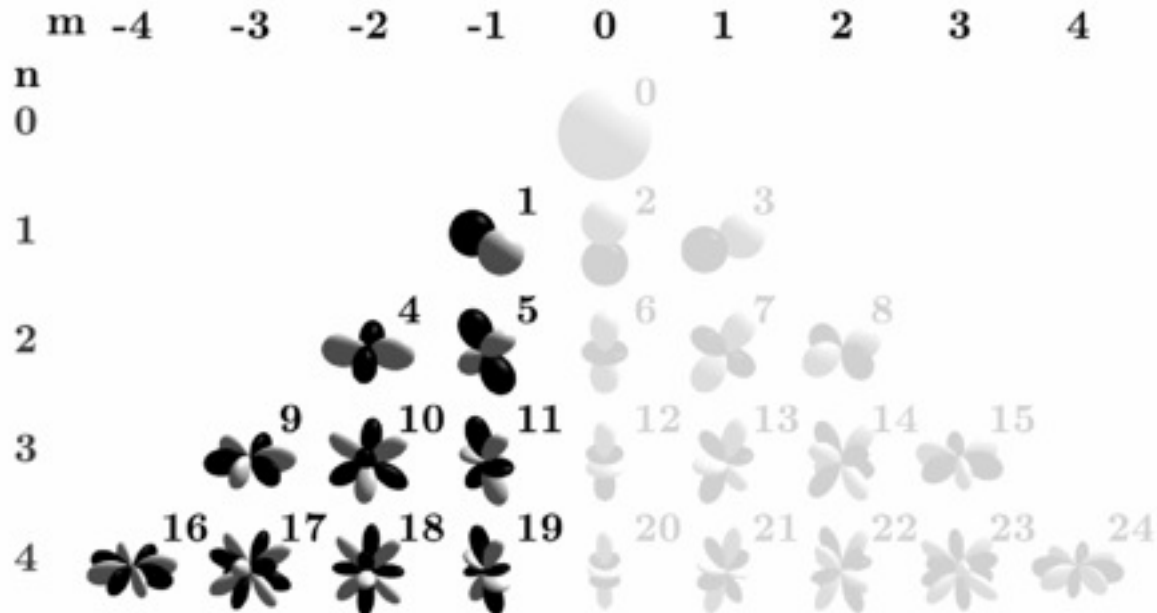




Transformation durch Symmetrie

(Erinnerung an MS Aufnahmetechnik..)

Vorzeichennegation für Signale mit $m < 0$
resultiert in Spiegelung um die y-Achse



Vektornotation

$$f(\varphi, \vartheta, t) = \sum_{n=0}^N \sum_{m=-n}^n Y_n^m(\varphi, \vartheta) \phi_{nm}(t)$$

$$f(\boldsymbol{\theta}, t) = \mathbf{y}_N^T(\boldsymbol{\theta}) \boldsymbol{\phi}_N(t)$$

$$\mathbf{y}_N(\boldsymbol{\theta}) = \begin{pmatrix} Y_0(\boldsymbol{\theta}) \\ Y_1(\boldsymbol{\theta}) \\ Y_2(\boldsymbol{\theta}) \\ Y_3(\boldsymbol{\theta}) \\ Y_4(\boldsymbol{\theta}) \\ \vdots \\ Y_{(N+1)^2-1}(\boldsymbol{\theta}) \end{pmatrix} = \begin{pmatrix} Y_0^0(\boldsymbol{\theta}) \\ Y_1^{-1}(\boldsymbol{\theta}) \\ Y_1^0(\boldsymbol{\theta}) \\ Y_1^1(\boldsymbol{\theta}) \\ Y_2^{-2}(\boldsymbol{\theta}) \\ \vdots \\ Y_N^M(\boldsymbol{\theta}) \end{pmatrix} \quad \boldsymbol{\phi}_N(t) = \begin{pmatrix} \phi_0(t) \\ \phi_1(t) \\ \phi_2(t) \\ \vdots \\ \phi_{(N+1)^2-1}(t) \end{pmatrix}$$

Ambisonic Channel Numbering (ACN)

Spherical Harmonic Transform

$$\mathcal{SHT}\{f(\boldsymbol{\theta})\} = \boldsymbol{\phi}_N = \int_{\mathbb{S}^2} \mathbf{y}_N(\boldsymbol{\theta}) f(\boldsymbol{\theta}) d\boldsymbol{\theta}.$$

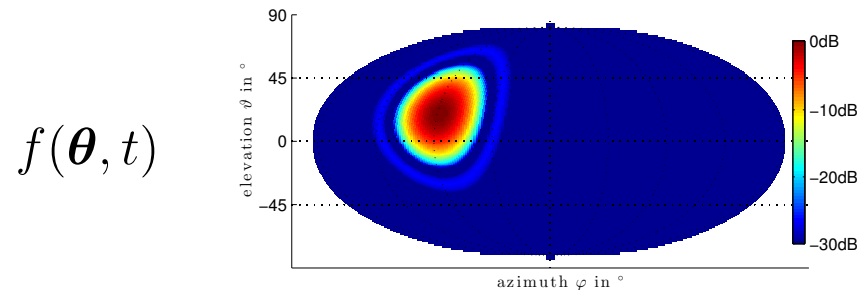
Geeignete Wahl
von Abtastpunkten

$$\boldsymbol{\Theta} = [\boldsymbol{\theta}_1, \dots, \boldsymbol{\theta}_L]^T.$$

$$\mathcal{DSHT}\{\mathbf{f}(\boldsymbol{\Theta})\} = \boldsymbol{\phi}_N = \mathbf{Y}_N^\dagger(\boldsymbol{\Theta}) \mathbf{f}(\boldsymbol{\Theta}),$$

$$\mathbf{Y}_N(\boldsymbol{\Theta}) = \begin{pmatrix} \mathbf{y}_N^T(\boldsymbol{\theta}_1) \\ \mathbf{y}_N^T(\boldsymbol{\theta}_2) \\ \vdots \\ \mathbf{y}_N^T(\boldsymbol{\theta}_L) \end{pmatrix} = \begin{pmatrix} Y_0(\boldsymbol{\theta}_1) & Y_1(\boldsymbol{\theta}_1) & Y_2(\boldsymbol{\theta}_1) & \cdots & Y_{(N+1)^2-1}(\boldsymbol{\theta}_1) \\ Y_0(\boldsymbol{\theta}_2) & Y_1(\boldsymbol{\theta}_2) & Y_2(\boldsymbol{\theta}_2) & \cdots & Y_{(N+1)^2-1}(\boldsymbol{\theta}_2) \\ \cdots & \cdots & \cdots & \cdots & \cdots \\ Y_0(\boldsymbol{\theta}_L) & Y_1(\boldsymbol{\theta}_L) & Y_2(\boldsymbol{\theta}_L) & \cdots & Y_{(N+1)^2-1}(\boldsymbol{\theta}_L) \end{pmatrix}$$

Allgemeine Transformationsvorschrift



1) Richtungen unterschiedlich gewichten $g(\boldsymbol{\theta})$

2) Richtungen neu zuweisen $\tilde{\boldsymbol{\theta}} = \mathcal{T}\{\boldsymbol{\theta}\}$

$$\tilde{f}(\mathcal{T}\{\boldsymbol{\theta}\}, t) = g(\boldsymbol{\theta}) f(\boldsymbol{\theta}, t)$$

inverse Abbildung $\tilde{f}(\boldsymbol{\theta}, t) = g(\mathcal{T}^{-1}\{\boldsymbol{\theta}\}) f(\mathcal{T}^{-1}\{\boldsymbol{\theta}\}, t)$

Allgemeine Transformationsvorschrift

Transformiertes Signal $\tilde{f}(\boldsymbol{\theta}, t) = g(\mathcal{T}^{-1}\{\boldsymbol{\theta}\}) f(\mathcal{T}^{-1}\{\boldsymbol{\theta}\}, t)$

$$f(\boldsymbol{\theta}, t) = \mathbf{y}_N^T(\boldsymbol{\theta}) \boldsymbol{\phi}_N(t)$$

Orthogonalität

$$\mathbf{y}_N^T(\boldsymbol{\theta}) \tilde{\boldsymbol{\phi}}_N(t) = g(\mathcal{T}^{-1}\{\boldsymbol{\theta}\}) \mathbf{y}_N^T(\mathcal{T}^{-1}\{\boldsymbol{\theta}\}) \boldsymbol{\phi}_N(t)$$

$$\int_{\mathbb{S}^2} \mathbf{y}_N(\boldsymbol{\theta}) \mathbf{y}_N^T(\boldsymbol{\theta}) d\boldsymbol{\theta} = \mathbf{I} \quad \tilde{\boldsymbol{\phi}}_N(t) = \underbrace{\int_{\mathbb{S}^2} \mathbf{y}_N(\boldsymbol{\theta}) g(\mathcal{T}^{-1}\{\boldsymbol{\theta}\}) \mathbf{y}_N^T(\mathcal{T}^{-1}\{\boldsymbol{\theta}\}) d\boldsymbol{\theta}}_{:=\mathbf{T}} \boldsymbol{\phi}_N(t)$$

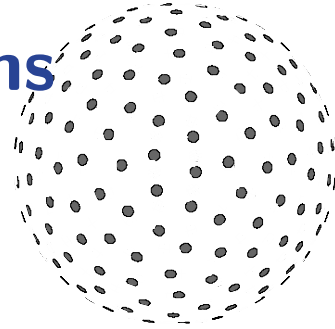
$$\tilde{\boldsymbol{\phi}}_N(t) = \mathbf{T} \boldsymbol{\phi}_N(t)$$

-> Erkennen SHT $\mathbf{T} = \mathcal{SH}\mathcal{T}\{g(\mathcal{T}^{-1}\{\boldsymbol{\theta}\}) \mathbf{y}_N^T(\mathcal{T}^{-1}\{\boldsymbol{\theta}\})\}$

und verwenden DSHT

$$\begin{aligned} \mathbf{T} &= \mathcal{DSHT}\{\text{diag}\{\mathbf{g}(\mathcal{T}^{-1}\{\boldsymbol{\Theta}\})\} \mathbf{Y}_N(\mathcal{T}^{-1}\{\boldsymbol{\Theta}\})\} \\ &= \mathbf{Y}_N^\dagger(\boldsymbol{\Theta}) \text{diag}\{\mathbf{g}(\mathcal{T}^{-1}\{\boldsymbol{\Theta}\})\} \mathbf{Y}_N(\mathcal{T}^{-1}\{\boldsymbol{\Theta}\}) \end{aligned}$$

Transformationsvorschrift mit t -designs



$$\begin{aligned} \mathbf{T} &= \mathcal{DSHT} \{ \text{diag} \{ \mathbf{g}(\mathcal{T}^{-1} \{ \boldsymbol{\Theta} \}) \} \mathbf{Y}_N(\mathcal{T}^{-1} \{ \boldsymbol{\Theta} \}) \} \\ &= \mathbf{Y}_{\tilde{N}}^{\dagger}(\boldsymbol{\Theta}) \text{diag} \{ \mathbf{g}(\mathcal{T}^{-1} \{ \boldsymbol{\Theta} \}) \} \mathbf{Y}_N(\mathcal{T}^{-1} \{ \boldsymbol{\Theta} \}) \end{aligned}$$

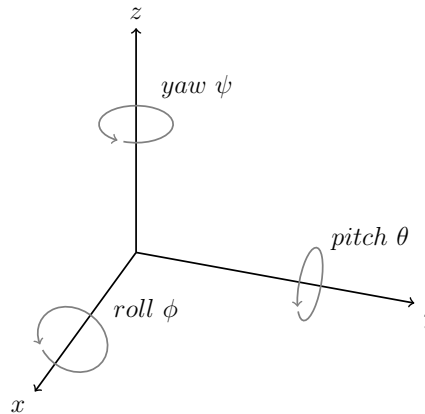
mit t -design keine Pseudoinversion notwendig $t \geq 2N$

$$\mathbf{T} = \text{diag} \left\{ \frac{4\pi}{L} \right\} \mathbf{Y}_{\tilde{N}}^T(\boldsymbol{\Theta}_t) \text{diag} \{ \mathbf{g}(\mathcal{T}^{-1} \{ \boldsymbol{\Theta}_t \}) \} \mathbf{Y}_N(\mathcal{T}^{-1} \{ \boldsymbol{\Theta}_t \})$$

ohne inverse Abbildung müssten wir für jede Parameteränderung die Pseudoinverse berechnen...

Transformationen erhöhen möglicherweise $N \rightarrow \tilde{N}$

Anwendungen der allgemeinen Transformationsvorschrift

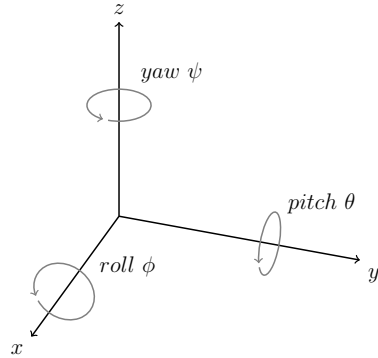


$$\tilde{\boldsymbol{\theta}} = \mathcal{T}\{\boldsymbol{\theta}\} = \mathbf{R}(\phi, \theta, \psi) \boldsymbol{\theta}$$

$$\mathbf{R}(\phi, \theta, \psi) = \underbrace{\begin{pmatrix} 1 & 0 & 0 \\ 0 & \cos \phi & -\sin \phi \\ 0 & \sin \phi & \cos \phi \end{pmatrix}}_{\text{x-axis-rotation(roll)}} \cdot \underbrace{\begin{pmatrix} \cos \theta & 0 & \sin \theta \\ 0 & 1 & 0 \\ -\sin \theta & 0 & \cos \theta \end{pmatrix}}_{\text{y-axis-rotation(pitch)}} \cdot \underbrace{\begin{pmatrix} \cos \psi & -\sin \psi & 0 \\ \sin \psi & \cos \psi & 0 \\ 0 & 0 & 1 \end{pmatrix}}_{\text{z-axis-rotation(yaw)}}$$

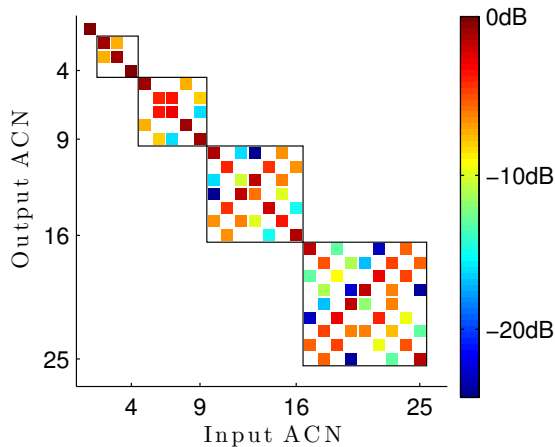
$$\mathbf{T}_r^{xyz} = \text{diag}\left\{\frac{4\pi}{L}\right\} \mathbf{Y}_N^T(\boldsymbol{\Theta}_t) \mathbf{Y}_N(\mathbf{R}^T(\phi, \theta, \psi) \boldsymbol{\Theta}_t)$$

Rotation

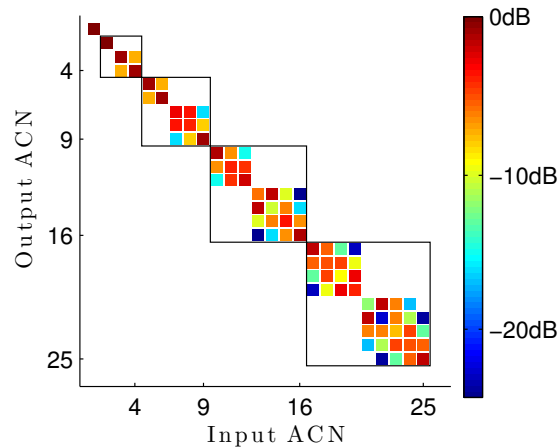


$$\tilde{\theta} = \mathcal{T}\{\theta\} = \mathbf{R}(\phi, \theta, \psi) \theta$$

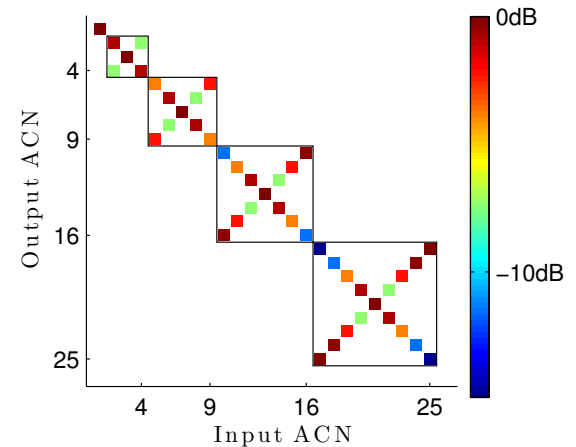
$$g(\theta) = 1$$



(a) x -axis $\phi = 25^\circ$.



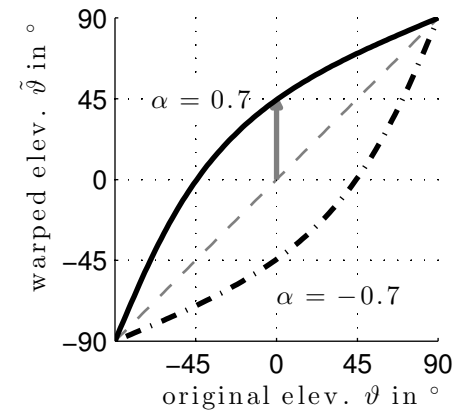
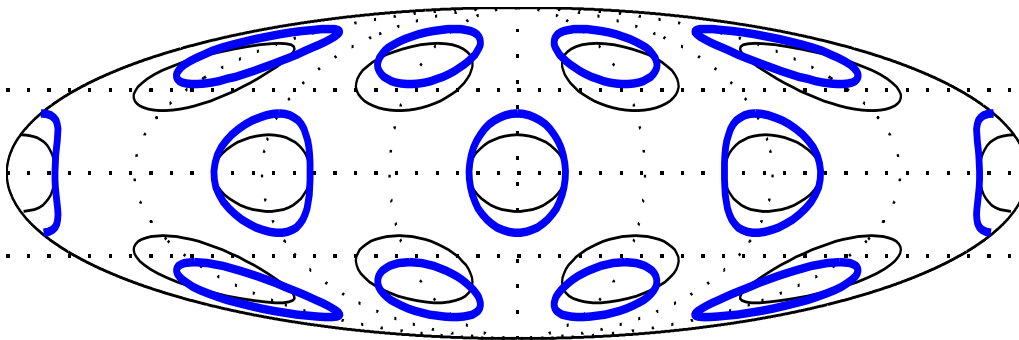
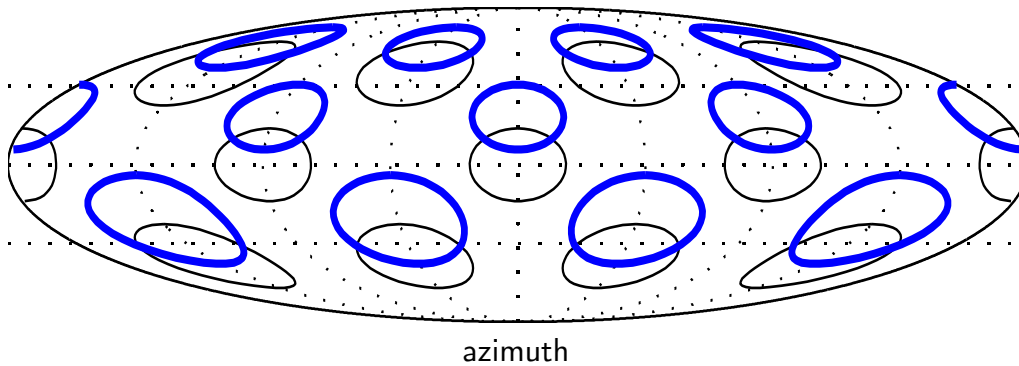
(b) y -axis $\theta = 25^\circ$.



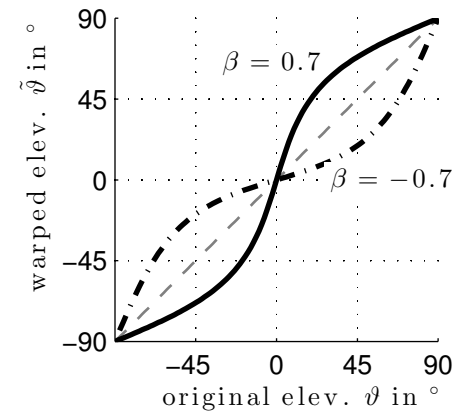
(c) z -axis $\psi = 25^\circ$.

Besetzung der Transformationsmatrix,
Komponenten jeder SH Ordnung n werden gemischt,
verlassen diese aber nicht!

Warping



Zum
Pol

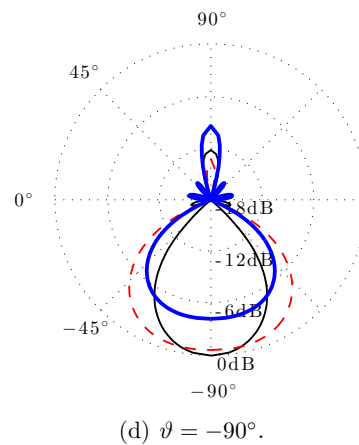
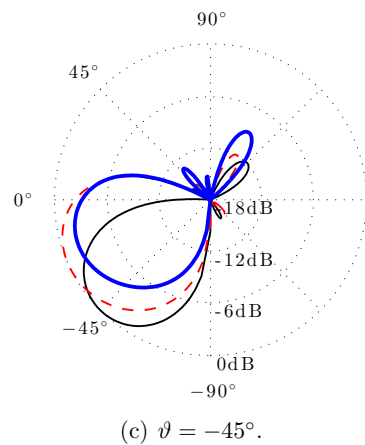
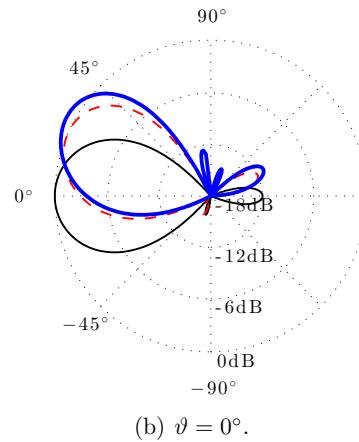
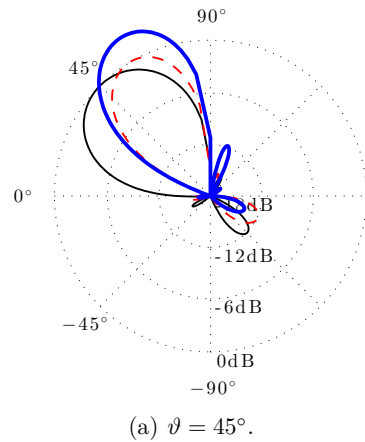


Zum
Äquator

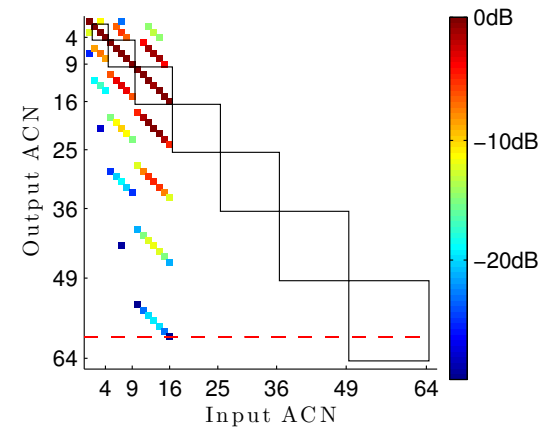
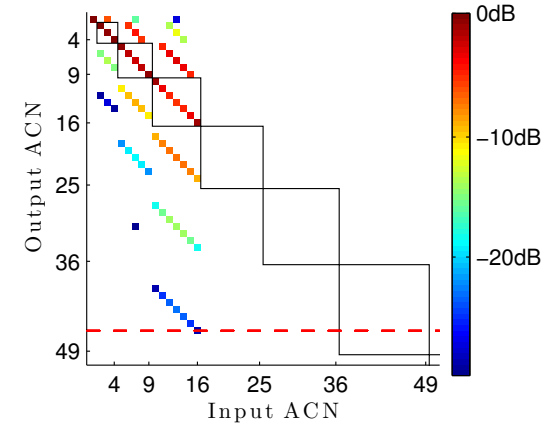
- Lautstärkenkompensation notwendig

Warping

Richtung Pol $\alpha = 0.4$ $N = 3$

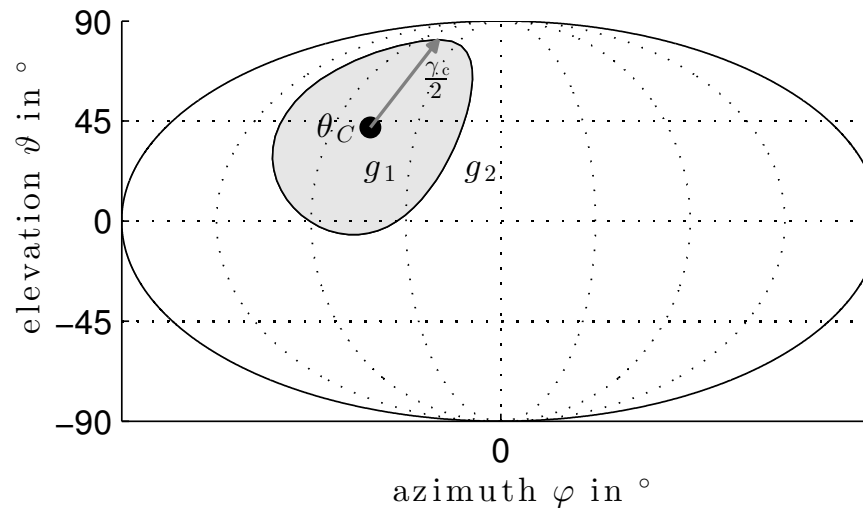


schwarz: Originalsignal, rot: ohne Lautstärkenkompensation
blau: mit Lautstärkenkompensation



Richtungsabhängige Lautstärkenanpassung

- Kugelhappenfunktion mit Zentrum θ_c , Größe $\frac{\gamma_c}{2}$
- Lautstärkefaktor g_1 für Punkte innerhalb der Kappe, g_2 außerhalb, neutrale Winkelabbildung $\mathcal{T}\{\theta\} = \theta$



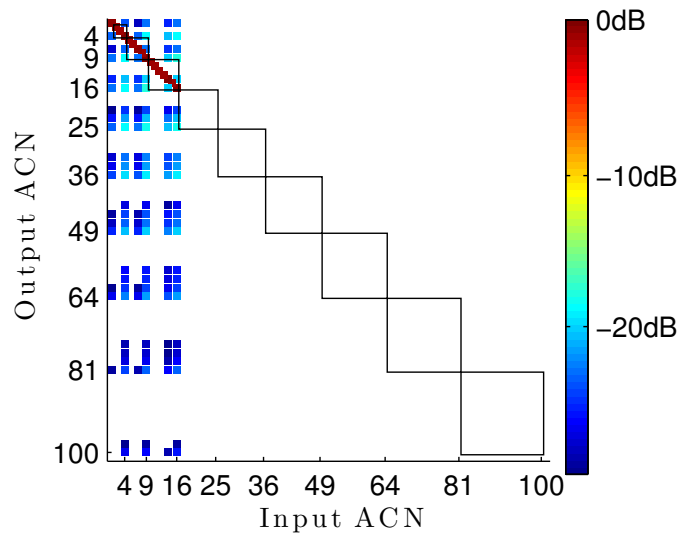
Richtungsabhängige Lautstärkenanpassung

$$N = 3$$

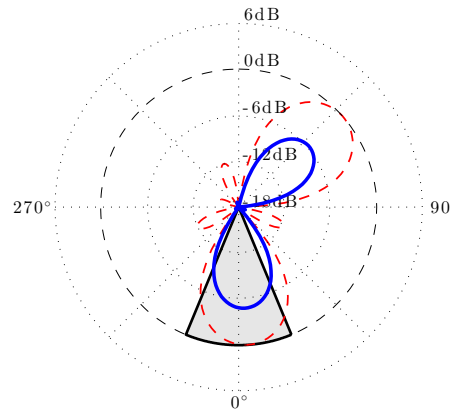
$$\theta_C = (0^\circ, 0^\circ)$$

$$\gamma = 40^\circ$$

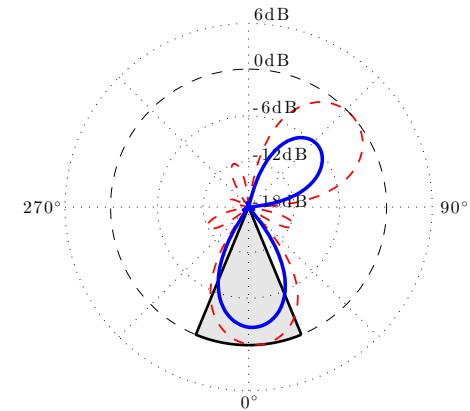
$$g_1 = 6\text{dB}, g_2 = -6\text{dB}$$



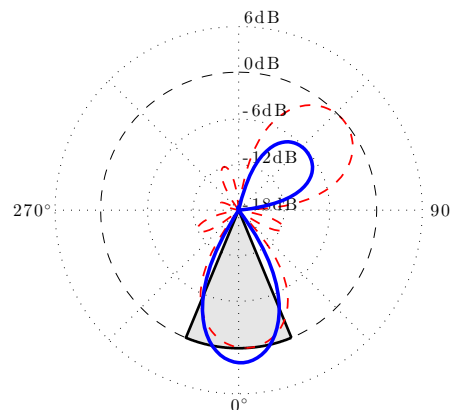
Transformationsmatrix



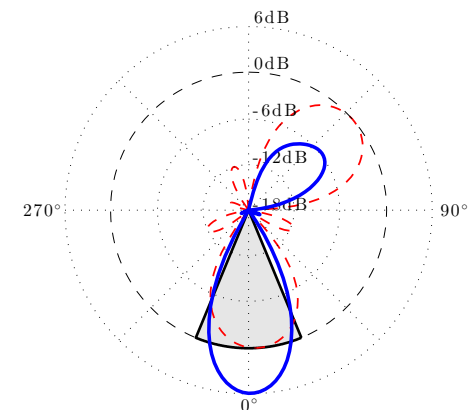
(a) $\tilde{N} = 3$.



(b) $\tilde{N} = 5$.



(c) $\tilde{N} = 7$.



(d) $\tilde{N} = 9$.

Nachteil: benötigt höhere Ordnungen!

Besser: Spherical Slepian Functions

Teilmenge der Kugelfläche $S^2 \subset \mathbb{S}^2$

Orthogonalität geht verloren $\int_{S^2} \mathbf{y}_N(\boldsymbol{\theta}) \mathbf{y}_N^T(\boldsymbol{\theta}) d\boldsymbol{\theta} = \mathbf{G}$

$\mathbf{g}(\boldsymbol{\theta})$ - Kappenfunktion $\mathbf{G} = \int_{S^2} \mathbf{y}_N(\boldsymbol{\theta}) \text{diag}\{\mathbf{g}(\boldsymbol{\theta})\} \mathbf{y}_N^T(\boldsymbol{\theta}) d\boldsymbol{\theta}$

Singularwertzerlegung $\mathbf{G} = \mathbf{U} \text{diag}\{[\sigma_i]_{1 \dots (N+1)^2}\} \mathbf{V}^T$

Ersetzen der
Singularwerte $\mathbf{T} = \mathbf{U} \text{diag}\{[\varsigma_i]_{1 \dots (N+1)^2}\} \mathbf{V}^T$

$$\varsigma_i = g_1 u(\sigma_i - \alpha \sigma_1) + g_2 u(\alpha \sigma_1 - \sigma_i) \quad 0 < \alpha < 1$$

Vorteil: Ordnungen strikt begrenzt!

Besser: Spherical Slepian Functions

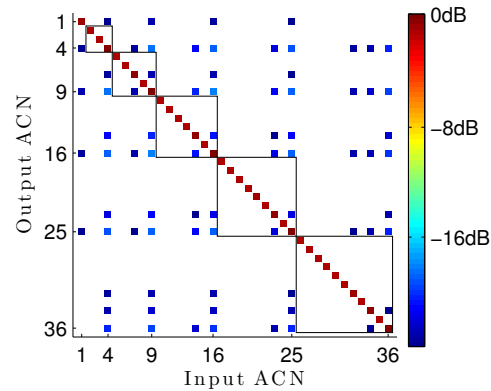
$$N = \tilde{N} = 5$$

$$\alpha = 0.5$$

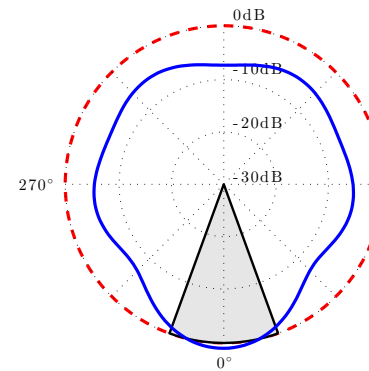
$$\theta_C = (0^\circ, 0^\circ)$$

$$g_1 = 0\text{dB}, g_2 = -6\text{dB}$$

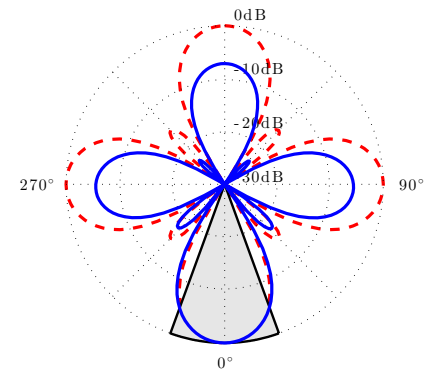
$$\gamma = 40^\circ$$



(a)

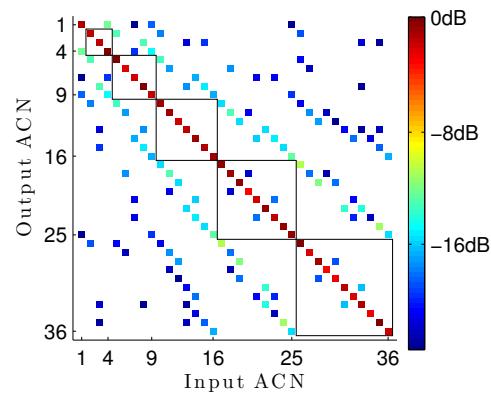


(b)

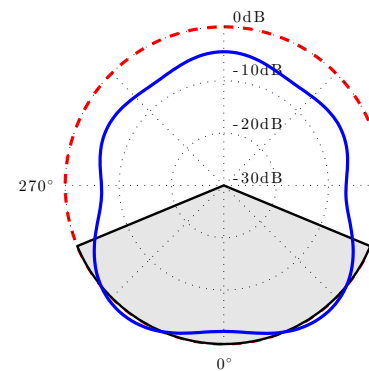


(c)

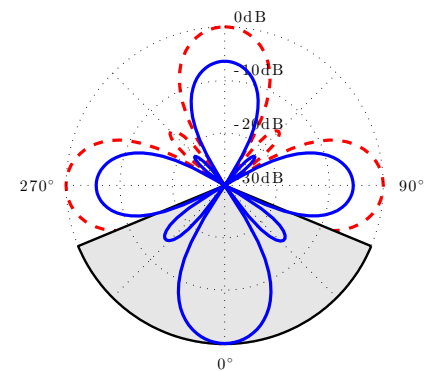
$$\gamma = 135^\circ$$



(d)



(e)



(f)

Andere Transformationskurven



Philips Pavilion, Le Corbusier und Iannis Xenakis,
Weltausstellung 1958 in Brüssel
[wikimedia commons/Wouter Hagens]

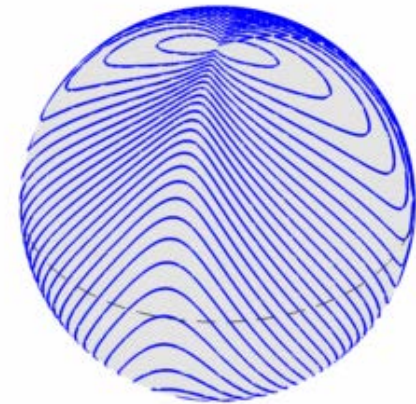
Azimuth abhängiges Warping

$$\mu = \cos \vartheta,$$

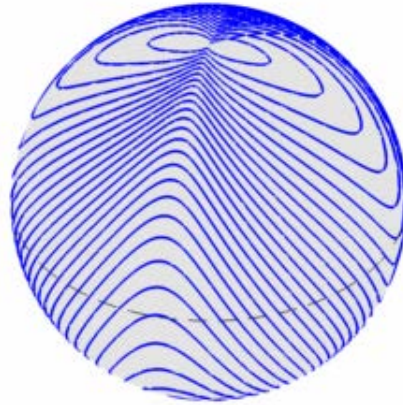
$$\alpha = 0.8 \sin 2\phi,$$

$$\tilde{\mu} = \frac{\alpha + \mu}{1 + \mu\alpha},$$

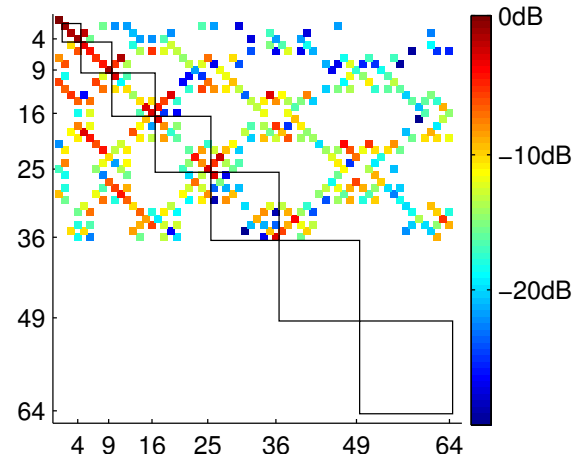
$$\tilde{\vartheta} = \arccos \tilde{\mu}.$$



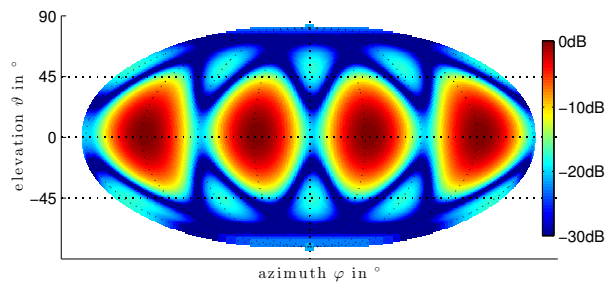
Andere Transformationskurven



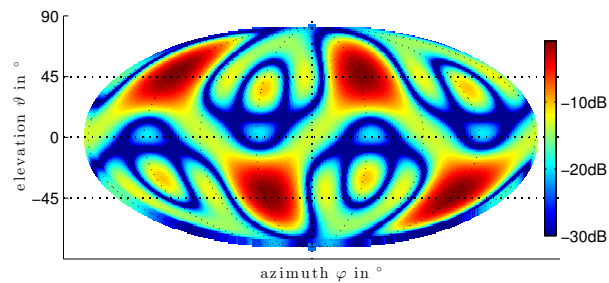
(a) Distortion scheme, lines indicate original elevation levels.



(b) Sparsity of \mathbf{T} , truncated at $\tilde{N} = 7$.



(c) Original surround signal.



(d) Modified surround signal.

t-designs durch nichtlineare Optimierung finden

Mögliche Kostenfunktion für *t*-designs

1. Kondition von \mathbf{Y}

$$\epsilon_C(\boldsymbol{\Theta}) = \kappa(\mathbf{Y}_N(\boldsymbol{\Theta})) - 1$$

2. Frobenius-Norm

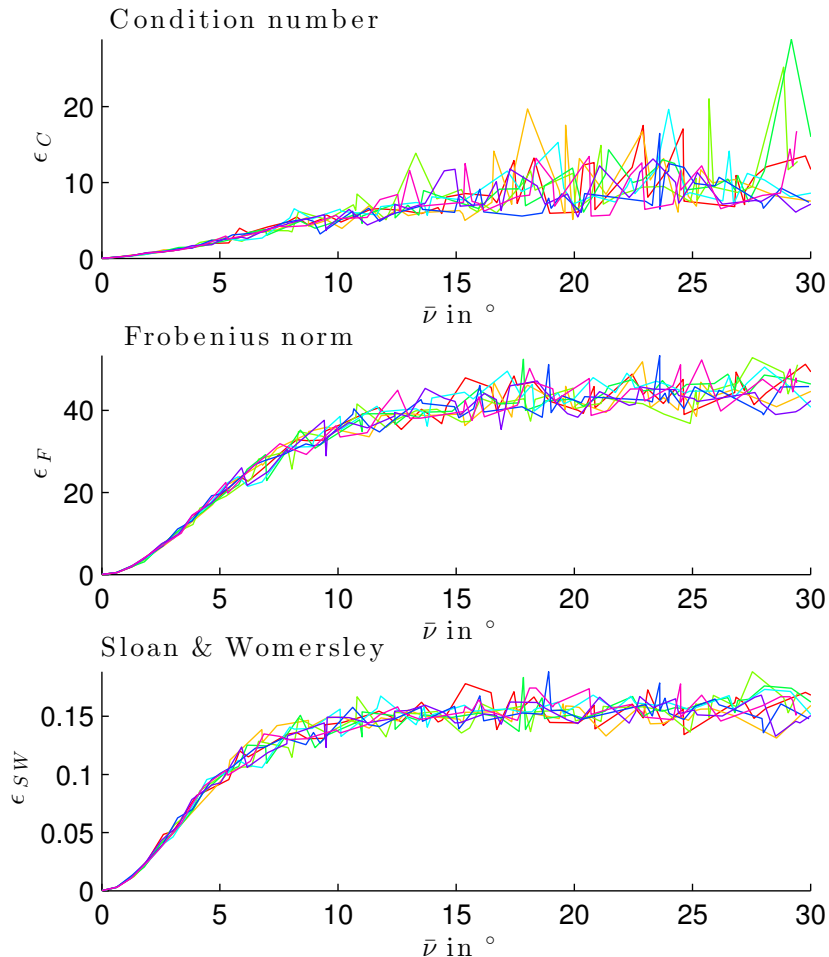
$$\epsilon_F(\boldsymbol{\Theta}) = \|\mathbf{Y}_N^T(\boldsymbol{\Theta}) \mathbf{Y}_N(\boldsymbol{\Theta})\|_F - \|\text{diag}\{\frac{4\pi}{L}\}\|_F$$

$$\|\mathbf{A}\|_F = \sqrt{\sum_{i=1}^m \sum_{j=1}^n |a_{ij}|^2}.$$

3. Sloan & Womersley

$$\epsilon_{SW}(\boldsymbol{\Theta}) = \frac{1}{L^2} \sum_{n=1}^t \sum_{m=-n}^n \left| \sum_{l=1}^L Y_n^m(\boldsymbol{\theta}_l) \right|^2$$

Mögliche Kostenfunktion für t -designs



- Starte mit bekanntem t -design Θ_t [1]

- Hinzufügen von Rauschen v

$$\bar{\nu} = \frac{1}{L} \sum_{l=1}^L \arccos \theta_t^T \theta_\nu$$

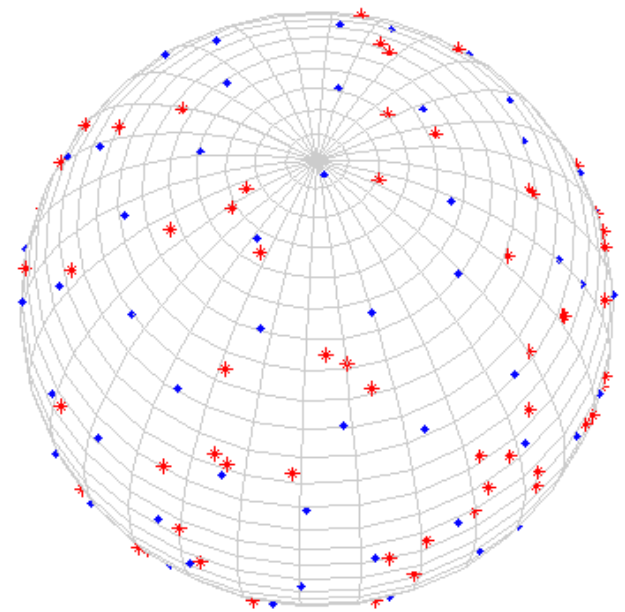
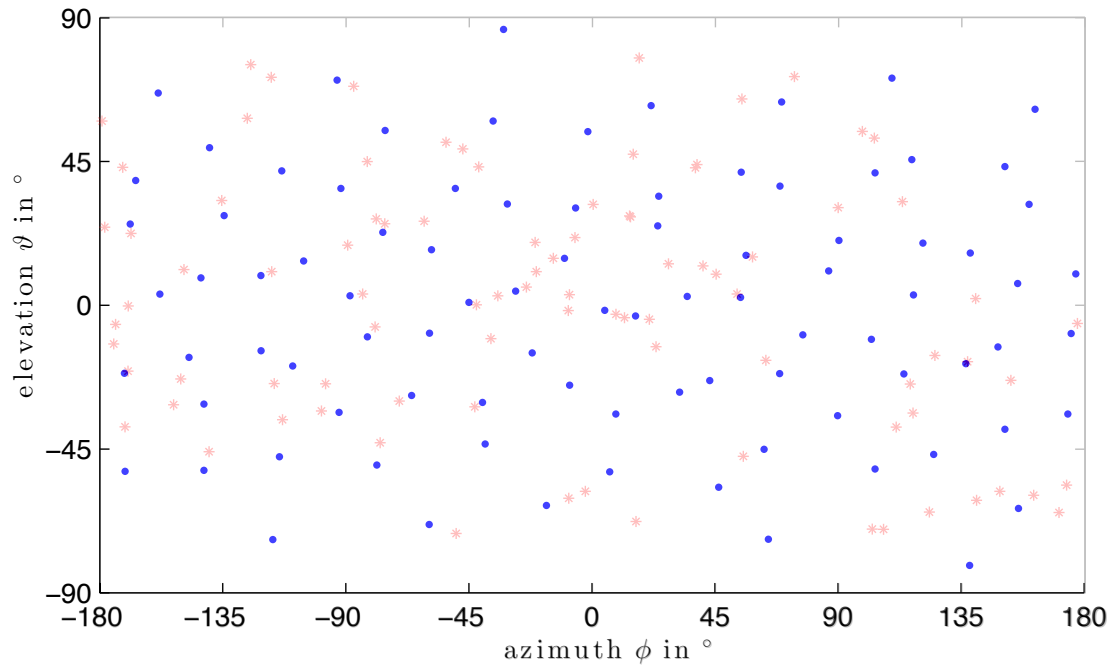
[1] R. Hardin and N. Sloane, "McLaren's Improved Snub Cube and Other New Spherical Designs in Three Dimensions," in Discrete Computational Geometry, vol. 15, pp. 429-441, 1996.

So finde ich t -designs...

- Zufällige Startkonfiguration $t=10$, $L=90$
- Nach 24m36s...

$$|\epsilon_{CW}| < 10^{-11}$$

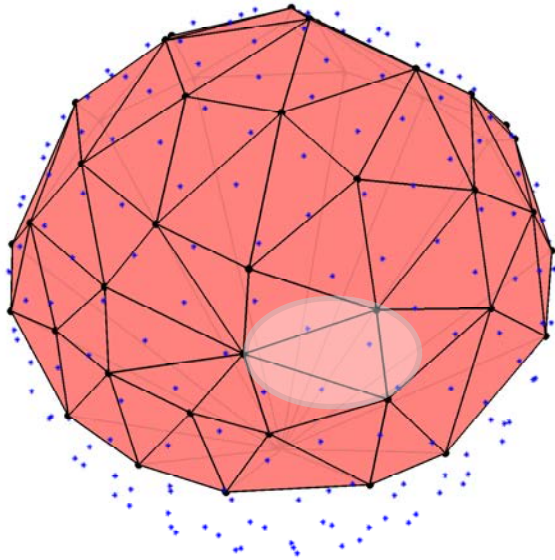
$$\kappa(\mathbf{Y}(\boldsymbol{\Theta})) = 1.000008$$



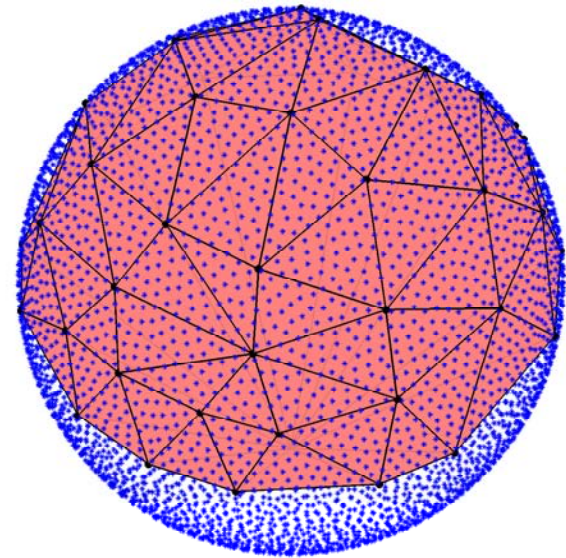
t-designs mit vielen Knoten?

All-Round Ambisonic Decoding

für den ZKM-Kubus mit 43 Lautsprecher



21-design mit $L = 240$



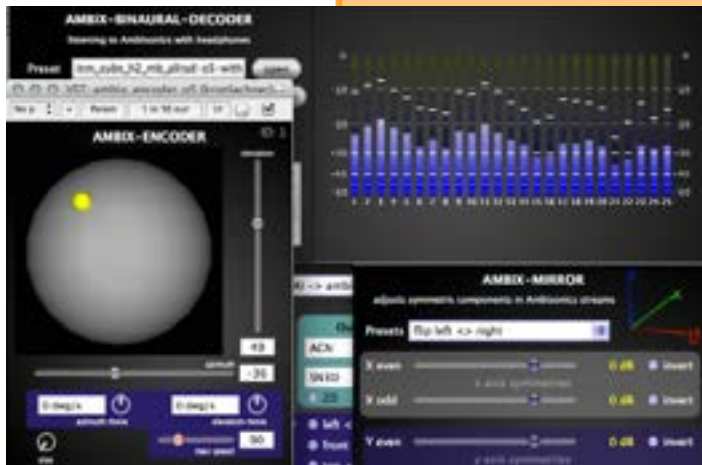
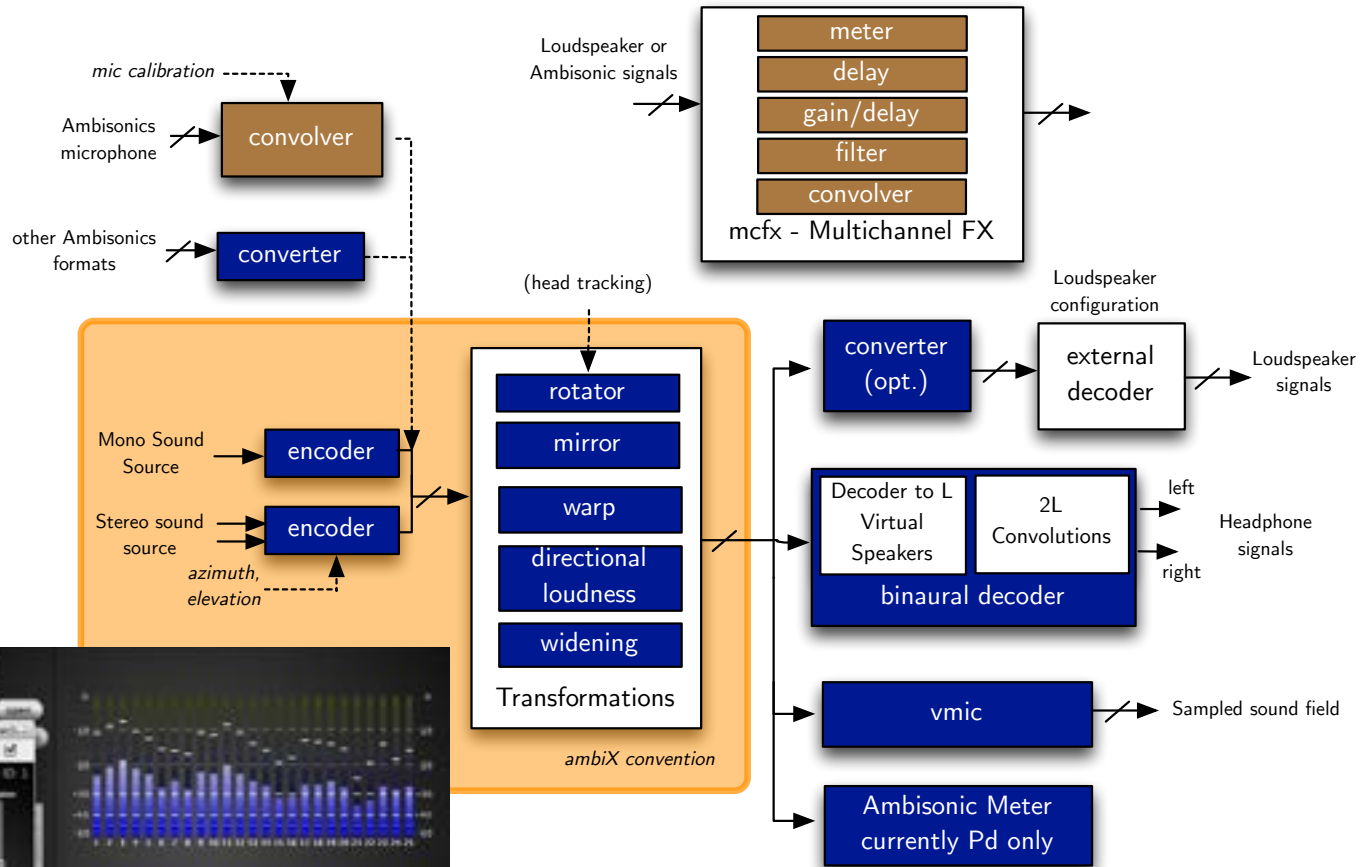
100-design mit $L = 5200$ [1]

[1] M. Gräf and D. Potts, "On the computation of spherical designs by a new optimization approach based on fast spherical Fourier transforms," in Numerische Mathematik Vol. 119 No. 4, p. 699-724, 2011.

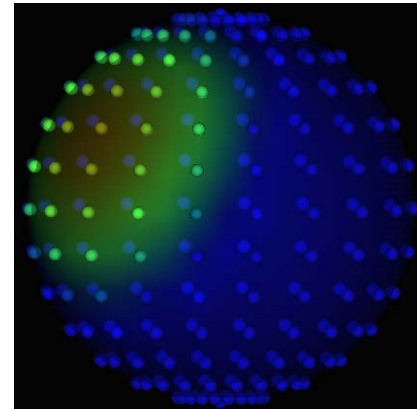
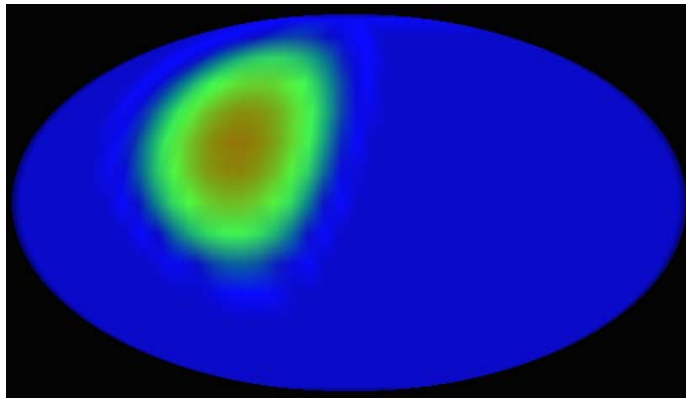
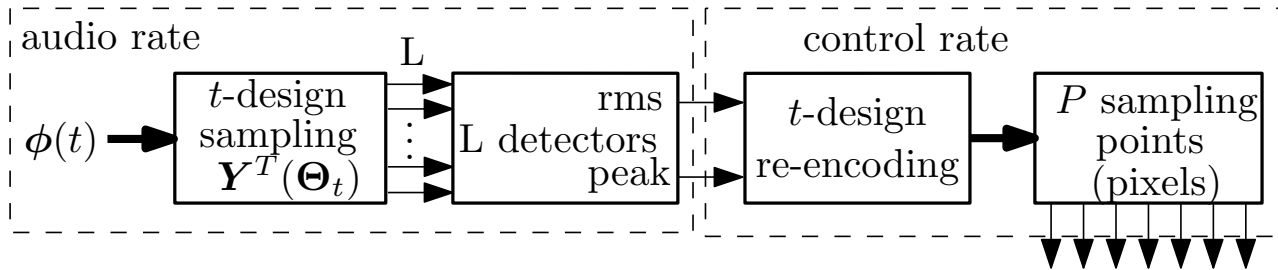
Implementierungen als Plug-ins

- *JUCE* C++ Bibliothek - Plug-in Infrastruktur, GUI
- *Eigen* C++ Bibliothek für lineare Algebra
- andere Bibliotheken für Samplerate-Conversion, FFT, OSC
- Open Source, getestet unter Windows, MacOS, (Linux)
- Anforderung an Host: flexible Busstruktur -> Reaper/Ardour

Implementierungen als Plug-ins



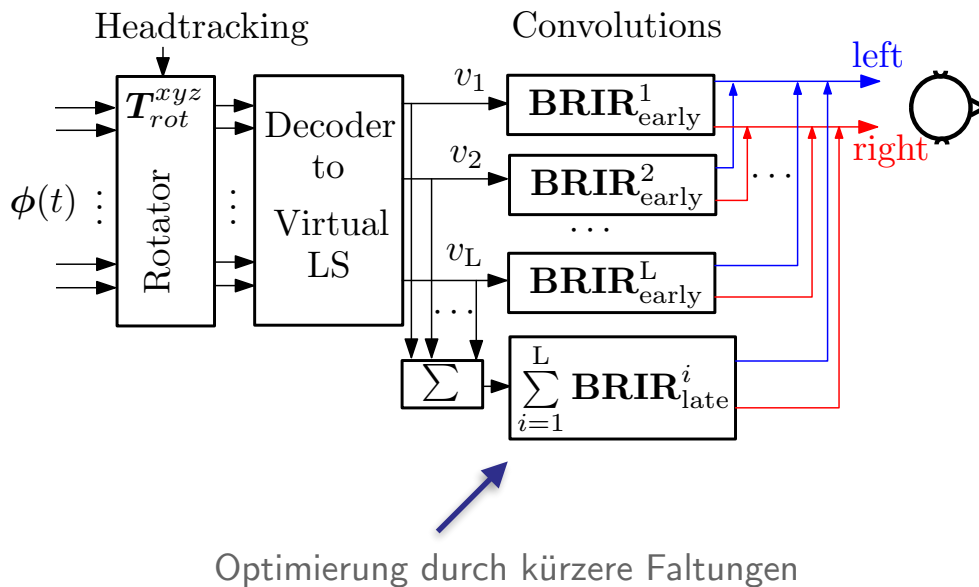
Visualisierung von Ambisonics-Signalen



Visualisierung der Richtungs Lautstärke: Pure Data Prototyp

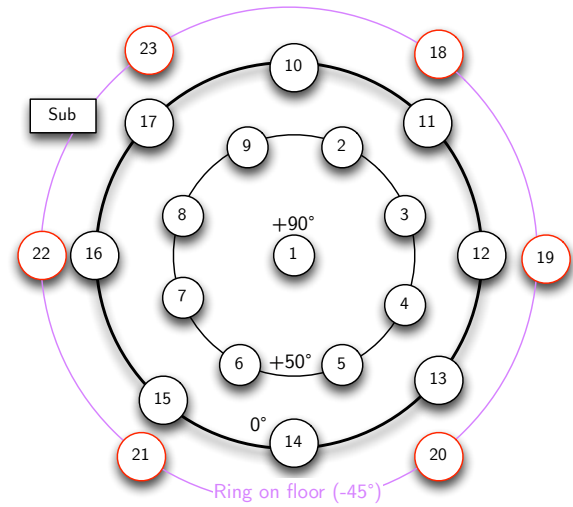
Dekodierung für Kopfhörerwiedergabe

Dekodierung auf virtuelle Lautsprecher,
Faltung der Lautsprechersignale mit
Binauralen Raumimpulsantworten (BRIRs)

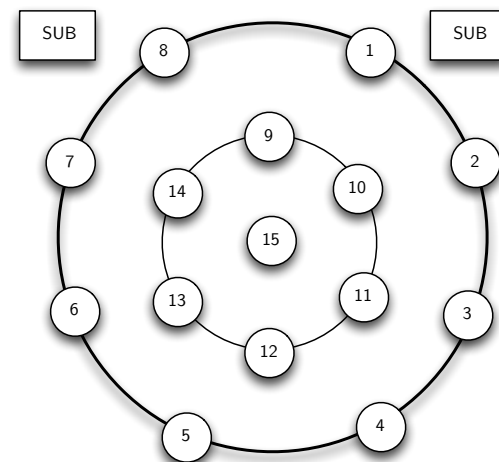


Headtracking mit Arduino [1] und 3-Achsen Beschleunigungssensor, Gyrometer und Magnetometer zur Drift-Kompensation

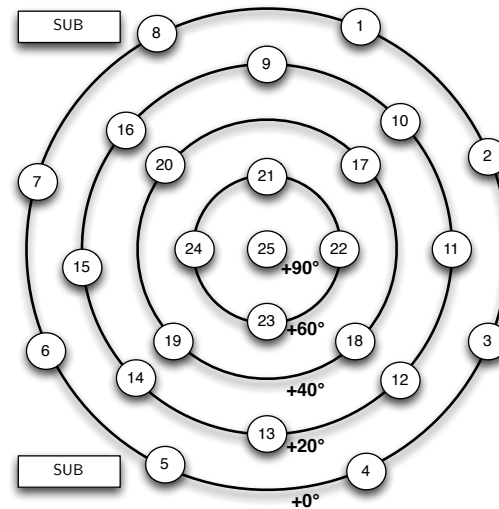
[1] D. Frie, "open-headtracker,"
<http://code.google.com/p/open-headtracker>, 2012.



Astronomisches Observatorium der Vilnius Universität, 2013



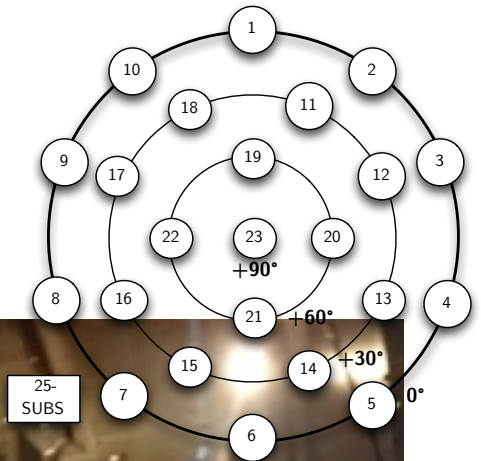
EU-ICT Messe Vilnius, 2013.



Mobile IEM Ambisonics Kuppel,
EAA Symposium Berlin, 2014.

Studienzentrum für Musikinnovation,

Litauische Musik und Theater Akademie, Vilnius, 2014



Zusammenfassung

- Allgemeine Transformationsvorschrift für Ambisonics
- Anwendung für Rotation, richtungsabhängige Lautstärkeanpassungen, Warping, Kreatives...
- Vorteile mit Slepian Functions für Lautstärkeanpassungen
- Suche nach t -designs durch nichtlineare Optimierung
- Plug-in Implementierungen

Fragen?

Danke.

Matthias Kronlachner